

استفاده از یادگیری ماشین برای مدل‌سازی سطوح مختلف تنش شوری و کوددهی

(Trigonella foenum-graecum L.)

ابراهیم فانی^{۱*} و مجتبی مکاری^۲

گروه زیست‌شناسی، دانشکده علوم پایه، دانشگاه صنعتی خاتم الانبیاء (ص) بهبهان، بهبهان، ایران،^۱ گروه فیزیک، دانشکده علوم پایه، دانشگاه صنعتی خاتم الانبیاء (ص) بهبهان، بهبهان، ایران

مسئول مکاتبات: ابراهیم فانی، fani@bkatu.ac.ir

چکیده. در پژوهش حاضر، با توجه به نتایج حاصل از آزمایش اولیه با سطوح تنش شوری و کوددهی مشخص که از قبل انجام شده و با استفاده از مدل رگرسیون غیرخطی (NLR) و زبان برنامه‌نویسی پایتون، صفات مورفولوژیکی و فیزیولوژیکی گیاه دارویی شنبلیله در سطوح تنش شوری و کوددهی سیلیس تعریف شده جدید (شوری تا سطح ۳۰۰ میلی‌مولار و کوددهی سیلیس در دو سطح ۱ و ۲ گرم در لیتر) بدون انجام آزمایش عملی و براساس سطوح شوری و کوددهی اولیه بیش‌بینی گردید. نتایج نشان داد که تاثیر مثبت سیلیس بر میزان کلروفیل فلورئنسنس (Fv/Fm) از صفر تا سطح شوری ۱۸۰ میلی‌مولار و میزان شاخص سبزینگی (SPAD) از صفر تا سطح شوری ۱۰۰ میلی‌مولار نمایان می‌شود. به نظر می‌رسد با توجه به نتایج حاصل از پژوهش حاضر، می‌توان با استفاده از یادگیری ماشین، صفات مورفولوژیکی و فیزیولوژیکی گیاه دارویی شنبلیله را در سطوح تنش شوری و کوددهی سیلیس تعریف شده دیگر بدون انجام آزمایش عملی، مورد بررسی و تجزیه و تحلیل قرار داد.

واژه‌های کلیدی: روش رگرسیون غیر خطی، شنبلیله، صفات فیزیولوژیکی، صفات مورفولوژیکی، یادگیری ماشین.

Using machine learning to model different levels of salinity stress and silica fertilization of fenugreek (*Trigonella foenum-graecum L.*)

Ebrahim Fani^{1*} & Mojtaba Mokari²

¹ Department of Biology, Faculty of Basic Science, Behbahan Khatam Al-Anbia University of Technology, Behbahan, Iran;

² Department of Physics, Faculty of Basic Science, Behbahan Khatam Al-Anbia University of Technology Behbahan, Iran;

Corresponding author: Ebrahim Fani, fani@bkatu.ac.ir

Abstract. In the current research, according to the results of the preliminary experiment carried out previously with specific levels of salinity stress and fertilization which were previously carried out and using the nonlinear regression model (NLR) and Python programming language, the morphological and physiological traits of the fenugreek medicinal plant at the newly defined levels of salinity stress and silica fertilization (salinity of up to 300 mM level and silica fertilization in two levels of 1 and 2 grams per liter) were predicted without conducting practical tests and based on the levels of salinity and initial fertilization. The results showed that the positive effect of silica on the amount of chlorophyll fluorescence (Fv/Fm) can be seen from zero to 180 mM salinity level and the amount of greenness index (SPAD) from zero to 100 mM salinity level. It seems that according to the results of the present research, it is possible to use machine learning to investigate and analyze the morphological and physiological characteristics of the fenugreek medicinal plant at other defined levels of salinity stress and other defined silica fertilization with no need to conduct a practical experiment.

Key words. Fenugreek, machine learning, morphological characteristics, nonlinear regression method, physiological characteristics

Received 08.03.2024/ Revised 17.06.2024/ Accepted 27.08.2024/ Published 17.09.2024

دراфт: ۱۴۰۳/۰۶/۲۷/ انتشار: ۱۴۰۳/۰۶/۲۷/ پذیرش: ۱۴۰۳/۰۶/۲۸/ اصلاح: ۱۴۰۳/۰۶/۲۸/

Al-aghabary *et al.*, 2005; Zuccarini, 2008; Chen *et al.*, 2011; Debona *et al.*, 2017; Luyckx *et al.*, 2017b, a; Liu *et al.*, 2019). مطالعات حاجی‌هاشمی و همکاران (۱۴۰۱) بر روی گیاه تربچه نشان داد که تیمارسیلیس در گیاه تربچه تحت تنش شوری سبب بهبود شاخص‌های رشد، فلئورسانس و محتوای کلروفیل‌ها، بیوسنتز کربوهیدرات‌ها، پروتئین‌ها، آنتی اکسیدان‌ها و در نتیجه حذف رادیکال‌های آزاد اکسیژن و کاهش آسیب به غشاها سلولی و در نتیجه افزایش تحمل گیاه در غلظت بالای سدیم گردید.

در سال‌های اخیر استفاده از سیستم استنتاج عصبی- فازی انطباقی (ANFIS) در زمینه‌های مختلف کشاورزی در حال افزایش است که یکی از جنبه‌های آن برآورد تغییرات عملکرد تولید است (Gupta *et al.*, 2015). همچنین پژوهشگران از مدل‌های یادگیری ماشین مثل: رگرسیون غیرپارامتری (NPR)، رگرسیون غیرخطی (Log), رگرسیون لگاریتمی (Log), رگرسیون حداقل مربعات جزئی (OLS) و (PLS)، رگرسیون حداقل مربعات معمولی (PCR) برای پیش‌بینی میزان پارامتر خروجی در مطالعات متعدد استفاده نمودند (Hosseini *et al.*, 2017).

هدف از این مطالعه تخمین صفات مورفولوژیکی و فیزیولوژیکی گیاه دارویی شبیله در سطوح متفاوت تنش شوری و محلول پاشی سیلیس براساس داده‌های بهدست آمده از صفات مذکور در آزمایشی با سطوح تنش شوری و محلول پاشی سیلیس مشخص با استفاده از مدل رگرسیون غیرخطی است. روش‌های رگرسیون غیرخطی به عنوان یک الگوریتم پرکاربرد در تحلیل داده‌هایی که رابطه بین متغیرها به صورت غیرخطی است، استفاده می‌شوند. در این مدل، روابط معنی دار میان متغیرها با استفاده از توابع غیرخطی ایجاد می‌شوند. برخلاف رگرسیون خطی که فرضیات خاصی درباره رابطه بین متغیرها دارد، روش‌های رگرسیون غیرخطی این امکان را فراهم می‌کنند که روابط پیچیده‌تری را نمایش داده و به تحلیل دقیق‌تری از داده‌ها بپردازیم. بنابراین در این پژوهش

مقدمه

شبیله (*Trigonella foenum-graecum L.*) گیاه دارویی قدیمی و شناخته شده است که از گذشته تاکنون در مناطق مختلف دنیا برای اهداف مختلفی، مورد کشت قرار گرفته است و خواص درمانی فراوانی دارد (زرگری، ۱۳۷۱؛ Amuthaselvi and Ambrose, 2016). شبیله به عنوان داروی گیاهی در درمان بسیاری از بیماری‌ها مانند دیابت کاربرد دارد. همچنین برگ و دانه‌های شبیله دارای لیپید اندک اما مواد معدنی، کربوهیدرات‌ها و پروتئین‌های فراوان هستند (Pasandi Pour *et al.*, 2014).

ایران در اکثر مناطق دارای اقلیم خشک و نیمه-خشک است که شوری ناشی از آن یکی از عوامل محدودکننده تولید گیاهان به شمار می‌رود و تاکنون تولید بسیاری از گیاهان دارویی و زراعی تحت تأثیر تنش شوری با محدودیت مواجه شده است (بناکار و همکاران، ۱۳۹۱). حضور نمک در خاک، ظرفیت جذب آب گیاه را کاهش داده که موجب کاهش رشد گیاه می‌گردد. آسیب به غشاء، عدم توازن مواد غذایی، مهار آنزیمی و تغییر سطوح تنظیم‌کنندگان رشد از اثرات متابولیکی شوری بر گیاه است. تنش شوری شدید می‌تواند اثرات محربی بر متابولیسم، فرایندهای فیزیولوژیکی و بیوشیمیایی گیاه داشته باشد (Hasanuzzaman *et al.*, 2013).

عنوان یادگیری ماشین برای مدل‌سازی تنش گیاهی، مدیریت درانگیختن (Hormesis) را مورد بررسی قرار دادند (Rico-Chavez *et al.*, 2022). آنها نشان دادند که تنش‌های ملایم به‌دلیل تولید متابولیت‌های مخصوص تحمل به تنش، اثرات مثبتی بر افزایش بهره‌وری و کیفیت محصول خواهد داشت. همچنین ایشان برای تفسیر دقیق داده‌ها از ابزارهای هوش مصنوعی و بهویژه یادگیری ماشین استفاده نمودند.

میزان سیلیس در گیاهان از حدود ۰/۱ درصد وزن خشک تا حدود ۱۰ درصد وزن خشک متغیر است (Ma and Takahashi, 2002; Deshmukh *et al.*, 2013; Debona *et al.*, 2017) کاربرد سیلیس در گیاهان باعث افزایش تحمل گیاهان در برابر تنش‌های مختلف از جمله شوری، گرما و خشکی

برای تخمین صفات سطوح تنفس شوری و کوددهی رگرسیون غیرخطی استفاده شده است.

مواد و روش‌ها

فتوستز (PI) در سطوح تنفس شوری و کوددهی سیلیس فوق‌الذکر اندازه‌گیری و نتایج آن در قالب یک مقاله چاپ گردیده است (فانی، ۱۴۰۲). در پژوهش حاضر، با توجه به نتایج حاصل از آزمایش اولیه با سطوح تنفس شوری و کوددهی مشخص و ذکر شده، با استفاده از مدل رگرسیون و زبان برنامه‌نویسی پایتون، صفات مورد اشاره در سطوح تنفس شوری و کوددهی سیلیس تعریف شده دیگر بدون انجام آزمایش عملی و براساس سطوح شوری و کوددهی اولیه پیش‌بینی گردید. در این پژوهش، به کمک برنامه‌نویسی به زبان پایتون و با در نظر گرفتن توابع شناخته شده در مدل رگرسیون غیرخطی (NLR)، صفات مورفولوژیکی و فیزیولوژیکی مختلف گیاه شنبليله را با سطوح شوری و کوددهی مختلف در کنار مراحل تجربی آزمایش، مدل‌سازی کردیم. همان‌گونه که ذکر شد در روش رگرسیون غیرخطی، برخلاف روش رگرسیون خطی، توانایی برآوردن ارتباطات پیچیده‌تر بین متغیرها وجود دارد که از این نظر در این کار روش رگرسیون غیرخطی برای مدل‌سازی استفاده شده است. برای انجام این بخش از پژوهش با مدل رگرسیون غیرخطی مراحل زیر انجام شده است (Agrawal, 2021):

- ۱- انتخاب مدل رگرسیون غیرخطی مناسب با داده‌های مورد مطالعه بسیار اساسی است. لذا برای این کار ترکیبی از توابع چند جمله‌ای، لگاریتمی و توانی مورد استفاده قرار گرفته است. این انتخاب معمولاً بر اساس شیوه‌های مختلفی از جمله روش‌های آزمون مدل‌ها، دانش حوزه مسئله و تجربه پژوهشگر صورت می‌گیرید. توابع انتخابی به صورت توابع نمایی و توانی است که به کمک نتایج آزمایشی تنفس شوری و همچنین کود دهی به گیاه انتخاب شده است (توابع ریاضی نهایی در مرحله ۶ ارائه شده است).
- ۲- داده‌های مورد نیاز برای انجام تحلیل به کمک آزمایش جمع‌آوری شده که این داده‌ها شامل متغیرهای واپسی و مستقل است.
- ۳- چون داده‌های جمع‌آوری شده نیازمند پیش‌پردازش است لذا با پاکسازی داده‌های پرت، تبدیل متغیرها به فرمت مناسب و رفع داده‌های ناقص

پژوهش اولیه با سطوح تنفس شوری صفر، ۷۵ و ۱۵۰ میلی‌مولار کلرید سدیم و سطوح کوددهی صفر و ۳ گرم در لیتر سیلیس به صورت گلدانی در قالب طرح کاملاً تصادفی با سه تکرار در پاییز سال ۱۴۰۱ در شهرستان بهبهان با عرض جغرافیایی ۳۳ درجه و ۳۹ دقیقه شمالی و طول جغرافیایی ۴۶ درجه و ۲۲ دقیقه شرقی و ارتفاع ۱۴۴۶ متر از سطح دریا اجرا شد. ویژگی‌های هواشناسی مکان آزمایش در طی دوره کشت، مطابق جدول ۱ است. تیمارهای آزمایشی شامل شوری در سه سطح (صفر، ۷۵ و ۱۵۰ میلی‌مولار کلرید سدیم) Haghghi, and Masoumi, 2021; Payamani (et al., 2021) و کود سیلیس در دو غلظت (صفر و ۳ گرم در لیتر مطابق با توصیه مصرف بر روی پاکت کود تهیه شده از فروشگاه آریا شیمی) بود. بذر شنبليله از فروشگاه معتبر فروش بذر نیز تهیه شد. بذرهای شنبليله در گلدان‌های پلاستیکی کوچک به ارتفاع ۷ و قطر ۸ سانتی‌متری پر شده با خاک باگی، خاکبرگ و پرلیت (به نسبت ۱:۱:۱) طوری کاشته شدند که در نهایت در هر گلدان پنج گیاه وجود داشت. برای تیمار گیاه با کود سیلیس بعد از رشد گیاهچه‌ها و در مرحله ۳ برگ حقیقی، تیمار گلدان‌ها با کود سیلیس (صفر و ۳ گرم در لیتر) در ۳ مرحله همراه با آب آبیاری در یک بازه زمانی ۷ روزه انجام شد و بعد از آن طی یک دوره‌ی ۱۰ روزه، ۴ مرحله اعمال تیمار شوری برای گلدان‌های دارای تنفس شوری به صورت آبیاری با آب شور ۷۵ و ۱۵۰ میلی‌مولار و همزمان آبیاری گلدان‌های دارای آبیاری معمولی (شوری صفر) اعمال گردید. سه روز بعد از اعمال آخرین مرحله تنفس شوری و ۳۹ روز بعد از کاشت گیاه شنبليله، صفات مورفولوژیکی و فیزیولوژیکی شامل ارتفاع بوته، طول ریشه، وزن تر اندام هوایی، وزن تر ریشه، وزن خشک اندام هوایی، وزن خشک ریشه، شاخص سبزینگی (SPAD)، کلروفیل فلورورسانس (Fv/Fm) و شاخص کارآیی دستگاه

مراحل ۳ تا ۵ به کمک برنامه‌نویسی با زبان پایتون انجام شده است. سپس توابع در مرحله بهبود عملکرد (مرحله ۶) جمع بندی نهایی شده است.

۶- در این مرحله جهت بهبود مدل، از روش‌های انعطاف‌پذیری مدل مانند افزودن یا حذف متغیرها و تغییر شکل تابع برای بهبود عملکرد مدل استفاده شده است. در نتیجه توابع نهایی پیش‌بینی پژوهش برای صفات مورفولوژیکی و فیزیولوژیکی مختلف گیاه شبیله را با سطوح شوری و کوددهی مختلف به صورت زیر به دست آمده است:

$$FV(Na, Si) = (1 - Si / 3) \times (-10^{-4} e^{Na/21.27} + 0.77) + (Si / 3) \times (-3 \times 10^{-4} e^{Na/32.57} + 0.77) \quad (1)$$

$$SPAD(Na, Si) = (1 - Si / 3) \times (8.27 e^{-Na/53.48} + 1) + (Si / 3) \times (11.2 e^{-Na/44} + 2.7) \quad (2)$$

$$HS(Na, Si) = (1 - \frac{Si}{3}) \times (0.35 e^{Na/24.26} + 2.7) + \frac{Si}{3} \times (-0.58 e^{[-0.5 \times (\frac{Na-75}{39.75})^2]} + 2.95) \quad (3)$$

$$LR(Na, Si) = (1 - Si / 3) \times (7.47 \times 10^{-Na/173.9} - 0.52) + (Si / 3) \times (10^{-3} e^{Na/31.28} + 3.55) \quad (4)$$

$$WWL(Na, Si) = (1 - Si / 3) \times (-7 \times 10^{-3} e^{Na/51.64} + 0.25) + (Si / 3) \times \left(\frac{186.3}{4 \times (Na - 75)^2 + 5595} + 0.23 \right) \quad (5)$$

$$WDL(Na, Si) = (1 - Si / 3) \times (-10^{-2} e^{Na/185} + 0.06) + (Si / 3) \times (-7 \times 10^{-3} e^{(-0.5 \times (\frac{Na-75}{29.9})^2)} + 0.04) \quad (6)$$

$$WWR(Na, Si) = (1 - Si / 3) \times (0.05 e^{-Na/54.1} + 0.04) + (Si / 3) \times \left(\frac{0.01}{1 + (Na / 75)^3} + 0.05 \right) \quad (7)$$

$$WDR(Na, Si) = (1 - Si / 3) \times (0.02 \times e^{-Na/88.52} + 0.026) + (Si / 3) \times \left(\frac{0.01}{(1 + Na / 75)^2} + 0.03 \right) \quad (8)$$

به دست آمده شماره ۱ تا ۸ است به کمک برنامه origin رسم شده و در بخش بحث و بررسی نتایج ارائه شده است.

در کل، اجرای یک مدل رگرسیون غیرخطی نیازمند مراحلی است که شامل انتخاب، آماده‌سازی داده، تخمین، ارزیابی، تطبیق و تفسیر مدل می‌شود. این مراحل بسته به خصوصیات داده و مسئله مورد بررسی ممکن است متفاوت باشند. نتایج مدل‌سازی شامل سطوح شوری بالاتر و همچنین بررسی میزان کوددهی در دو سطح دیگر بررسی روند تغییرات صفات است.

یا انتقال داده‌ها به مقیاس مناسب، این مرحله نیز انجام گرفته است.

۴- این مرحله شامل تخمین پارامترهای مدل غیرخطی از طریق روش‌های مختلفی از جمله روش‌های کمترین مربعات غیرخطی و الگوریتم‌های بهینه‌سازی است.

۵- پس از تخمین پارامترها، ارزیابی دقت و عملکرد مدل انجام می‌شود. این مرحله شامل استفاده از معیارهای ارزیابی مانند میانگین مربعات خطأ و تحلیل رفتار مدل در پیش‌بینی داده‌های آزمایشی است.

$$FV(Na, Si) = (1 - Si / 3) \times (-10^{-4} e^{Na/21.27} + 0.77) + (Si / 3) \times (-3 \times 10^{-4} e^{Na/32.57} + 0.77) \quad (1)$$

$$SPAD(Na, Si) = (1 - Si / 3) \times (8.27 e^{-Na/53.48} + 1) + (Si / 3) \times (11.2 e^{-Na/44} + 2.7) \quad (2)$$

$$HS(Na, Si) = (1 - \frac{Si}{3}) \times (0.35 e^{Na/24.26} + 2.7) + \frac{Si}{3} \times (-0.58 e^{[-0.5 \times (\frac{Na-75}{39.75})^2]} + 2.95) \quad (3)$$

$$LR(Na, Si) = (1 - Si / 3) \times (7.47 \times 10^{-Na/173.9} - 0.52) + (Si / 3) \times (10^{-3} e^{Na/31.28} + 3.55) \quad (4)$$

$$WWL(Na, Si) = (1 - Si / 3) \times (-7 \times 10^{-3} e^{Na/51.64} + 0.25) + (Si / 3) \times \left(\frac{186.3}{4 \times (Na - 75)^2 + 5595} + 0.23 \right) \quad (5)$$

$$WDL(Na, Si) = (1 - Si / 3) \times (-10^{-2} e^{Na/185} + 0.06) + (Si / 3) \times (-7 \times 10^{-3} e^{(-0.5 \times (\frac{Na-75}{29.9})^2)} + 0.04) \quad (6)$$

$$WWR(Na, Si) = (1 - Si / 3) \times (0.05 e^{-Na/54.1} + 0.04) + (Si / 3) \times \left(\frac{0.01}{1 + (Na / 75)^3} + 0.05 \right) \quad (7)$$

$$WDR(Na, Si) = (1 - Si / 3) \times (0.02 \times e^{-Na/88.52} + 0.026) + (Si / 3) \times \left(\frac{0.01}{(1 + Na / 75)^2} + 0.03 \right) \quad (8)$$

که در معادلات بالا به ترتیب توابع FV، SPAD، WWL، WDL، LR، WWR و WDR و WDR به صورت میزان کلروفیل فلورورسانس، شاخص سبزینگی، میزان ارتفاع ساقه، میزان ارتفاع ریشه، وزن تر برگ، وزن خشک برگ، وزن تر ریشه و وزن خشک ریشه هستند. همچنین متغیرهای Na و Si میزان شوری و سیلیس بر حسب گرم در رابطه‌ها هستند.

۷- در پایان، نتایج مدل رگرسیون غیرخطی تفسیر شده و استنتاجات موردنظر برای مسئله مورد بررسی قرار گرفته است. نتایج این مرحله که شامل معادلات

جدول ۱- ویژگی‌های آب و هوایی در طی دوره کشت این پژوهش در شهرستان بهبهان

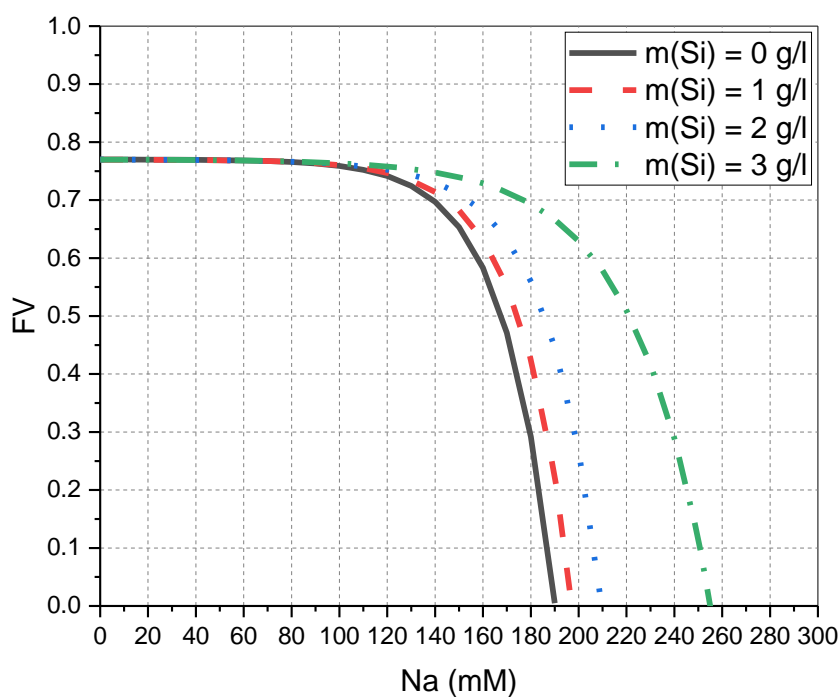
Table 1- Climate characteristics during the cultivation period of this research in Behbahan city

ماه	حداصل دمای ماهیانه (درجه سانتی گراد)	حداکثر دمای ماهیانه (درجه سانتی گراد)	مجموع بارش ماهیانه (میلی متر)	میانگین دمای ماهیانه (درجه سانتی گراد)
آبان ۱۴۰۱	۱۲/۲	۳۸/۱	۷۵/۸	۳۰
آذر ۱۴۰۱	۵/۴	۳۰/۸	۲۷/۹	۲۴/۹
دی ۱۴۰۱	۴/۴	۲۳/۳	۲۰۰/۵	۱۸/۱

می‌دهد. همانطور که مشاهده می‌شود، استفاده از کود سیلیس در شرایط شوری، باعث افزایش مقاومت گیاه در برابر کاهش میزان کلروفیل فلورسانس (Fv/Fm) گردیده است. البته گیاه تا سطح شوری ۱۰۰ گرم در لیتر اثر کوددهی سیلیس را نشان نمی‌دهد و تاثیر آن از سطوح بالاتر از ۱۰۰ تا ۲۵۰ گرم در لیتر نمایان می‌شود.

نتایج

شکل ۱ به کمک نتایج آزمایشگاهی در سطوح شوری ۰، ۷۵ و ۱۵۰ میلی مولار و اثر کوددهی ۰ و ۳ گرم در لیتر و مدل‌سازی رگرسیون غیرخطی نتایج قبلی، اثر کوددهی سیلیس را در دو سطح ۱ و ۳ گرم در لیتر و همچنین تنفس شوری تا سطح ۳۰۰ میلی مولار را بر میزان کلروفیل فلورسانس (Fv/Fm) گیاه را نشان

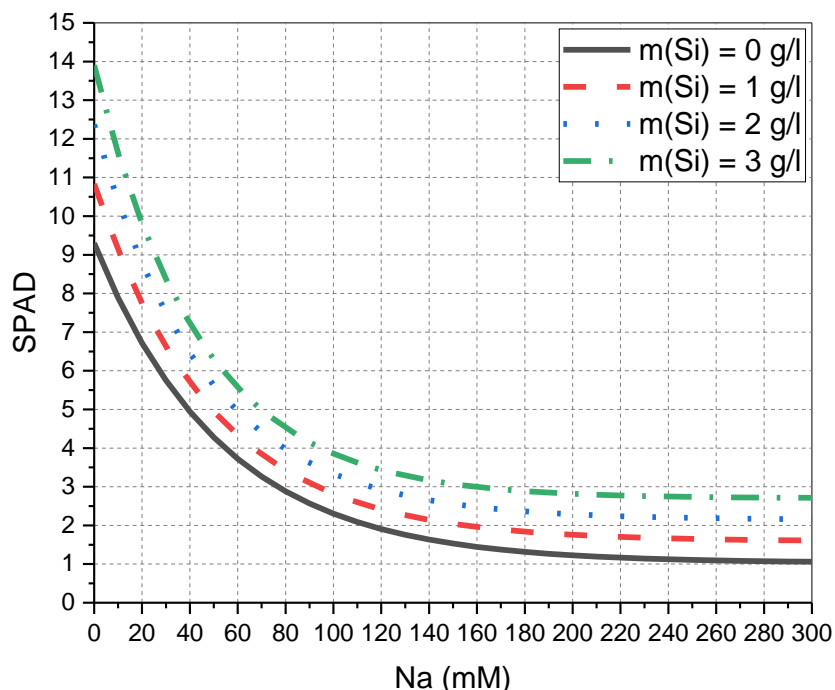


شکل ۱- بررسی اثر سطوح تنفس شوری ۰ تا ۳۰۰ میلی مولار در شرایط وجود یا عدم وجود کوددهی سیلیس از ۰ تا ۳ گرم در لیتر بر میزان کلروفیل فلورسانس با مدل‌سازی رگرسیون غیرخطی.

Figure 1- Investigating the effect of salinity stress levels from 0 to 300 mM in the presence or absence of silicon fertilization from 0 to 3 grams per liter on the amount of chlorophyll fluorescence with nonlinear regression modeling.

افزایش تنش شوری از ۱۰۰ تا میلی مولار ۳۰۰، مقاومت گیاه در برابر شوری برای هر سطح کوددهی به مقداری تقریباً ثابت، میل می‌کند که نشان‌دهنده تأثیرگذاری سیلیس در سطوح بالای شوری است.

در شکل ۲ میزان شاخص سبزینگی (SPAD) در مقادیر مختلف شوری و کوددهی با مدل‌سازی این پژوهش ارائه شده است. مشاهده می‌شود در شوری ۰ تا میلی مولار ۱۰۰، با افزایش کوددهی شیب کاهش میزان شاخص سبزینگی (SPAD) کنتر شده و با

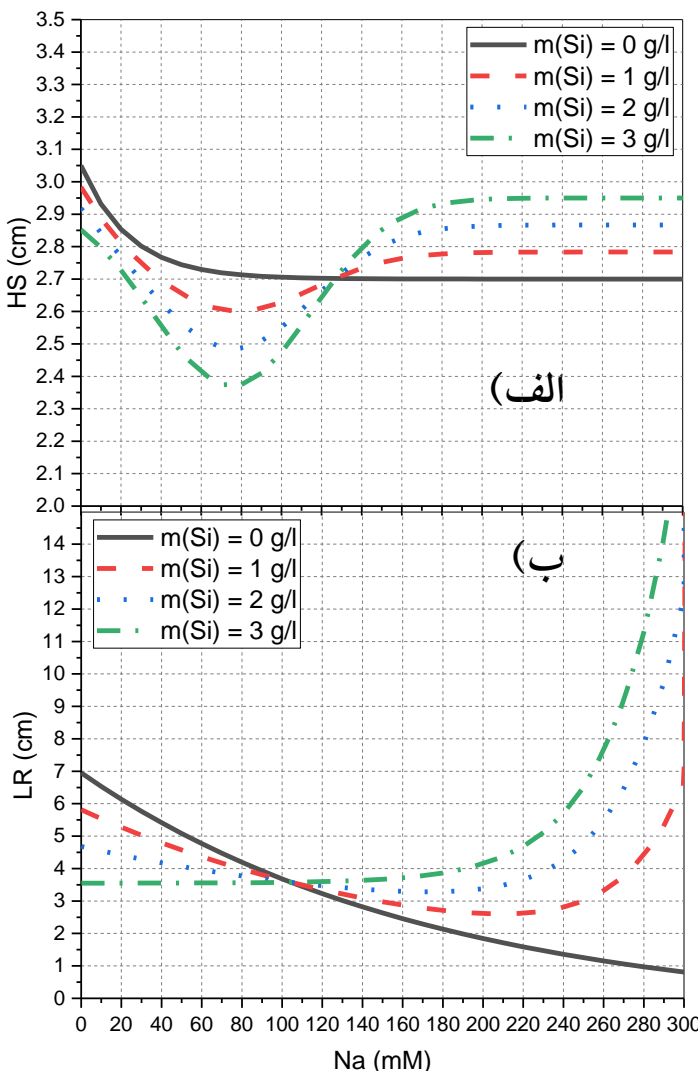


شکل ۲- بررسی میزان شاخص سبزینگی (SPAD) در سطوح تنش شوری ۰ تا میلی مولار ۳۰۰ در شرایط وجود یا عدم وجود کوددهی سیلیس از ۰ تا گرم در لیتر ۳ با مدل‌سازی رگرسیون غیرخطی.

Figure 2- Investigation of greenness index (SPAD) at salinity stress levels from 0 to 300 mM in the presence or absence of silica fertilization from 0 to 3 grams per liter with nonlinear regression modeling.

میلی مولار بسیار کاهش یافته ولی در سطوح بالاتر پس از افزایش میزان رشد به مقداری ثابت می‌رسد. همچنین اثر مثبت کوددهی بالاتر در تنش شوری شدید بسیار بیشتر است. در شکل ۳-ب نیز مشاهده می‌شود که با افزایش تنش شوری و شرایط بدون کوددهی طول ریشه به شدت کاهش می‌یابد، اما کوددهی با سیلیس مقاومت گیاه در مقابل شوری را افزایش داده و رشد ریشه افزایش می‌یابد.

در شکل ۳ دو کمیت تغییر ارتفاع ساقه و طول ریشه با اثر شوری و کوددهی مختلف بررسی شده و مقادیر طولی ریشه و ساقه را به سانتیمتر پیش‌بینی می‌کند. با توجه به شکل ۳-الف مشاهده می‌شود ارتفاع ساقه بدون کوددهی در سطوح مختلف شوری از مقدار حدود ۳/۰۵ به ۲/۷ cm کاهش یافته و تقریباً ثابت می‌ماند. اما با کوددهی در سه سطح مختلف، مقدار ارتفاع اولیه ساقه کاهش یافته و در سطح شوری ۷۵

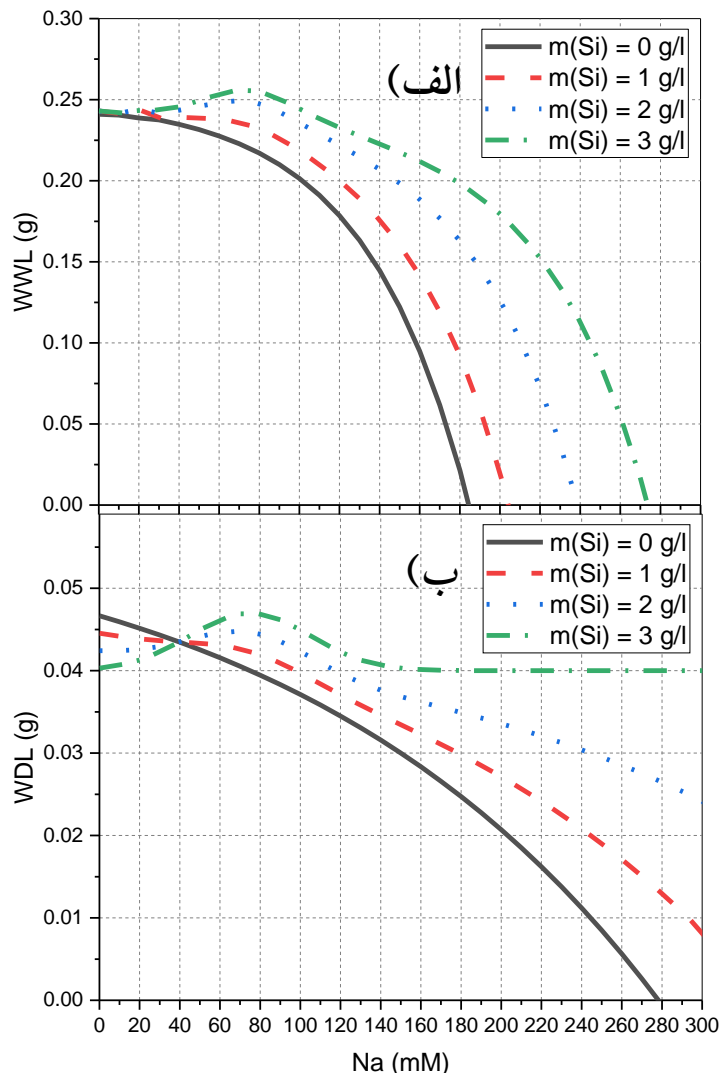


شکل ۳- بررسی اثر شوری و کوددهی سیلیس بر میزان تغییر (الف) ارتفاع ساقه و (ب) طول ریشه شبیله با مدل‌سازی رگرسیون غیرخطی.

Figure 3- Investigating the effect of salinity and silica fertilization on the mount change of a) stem height and b) root length of fenugreek with nonlinear regression modeling.

شوری، گیاه تا سطوح شوری بالاتری مقاومت کرده و با کاربرد با ۳ گرم در لیتر کود سیلیس تا شوری ۲۷۵ میلی مولار وزن تر برگ در برابر شوری مقاومت می‌کند. با بررسی شکل ۴-ب نیز می‌توان دریافت که سطوح مختلف کاربرد کوددهی سیلیس بر روی وزن اولیه خشک برگ موثر بوده و وزن خشک برگ گیاه در سطوح بالای شوری تقریباً ثابت می‌ماند.

به منظور بررسی شرایط برگ گیاه، صفات وزن تر و خشک برگ محاسبه شده و در شرایط وجود شوری و کوددهی مختلف در شکل ۴ ارائه شده است. با توجه به شکل ۴-الف مشاهده می‌شود، وزن تر برگ با افزایش تنش شوری کاهش یافته و در شرایط بدون کوددهی، در شوری ۱۸۵ میلی مولار به صفر میل می‌کند اما با افزایش میزان کود سیلیس در تنش

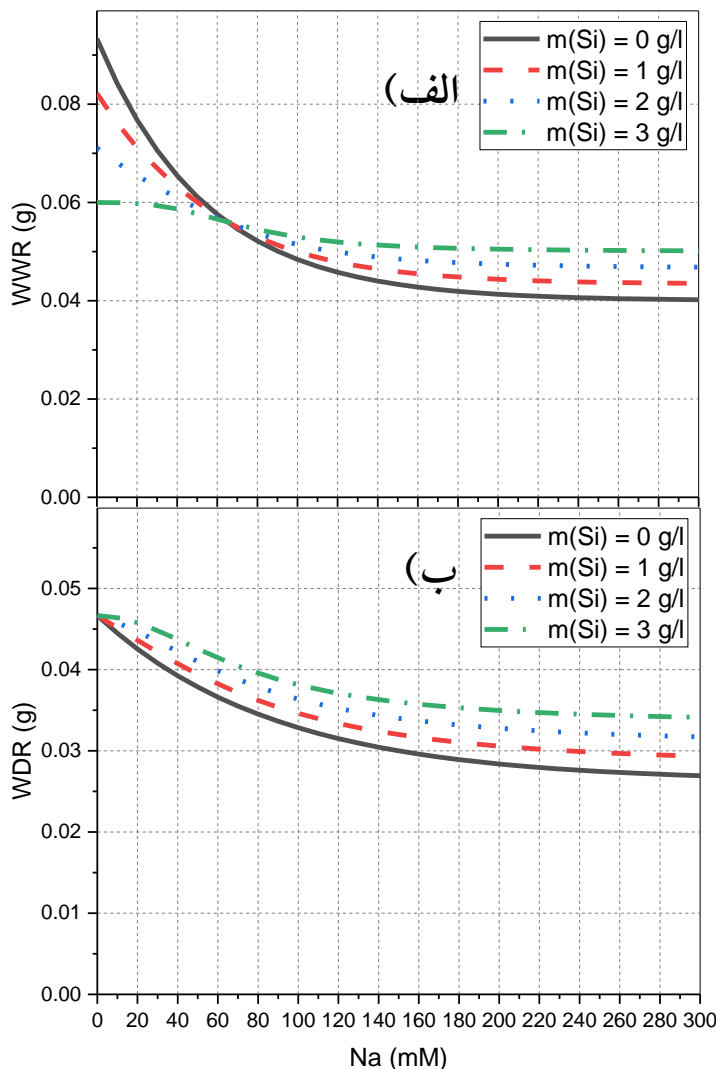


شکل ۴- بررسی اثر شوری و کوددهی سیلیس بر میزان تعییر (الف) وزن تر برگ و ب) وزن خشک برگ شنبه‌لیله با مدل‌سازی رگرسیون غیرخطی.

Figure 4- Investigating the effect of salinity and silica fertilization on the mount change in a) fresh weight of leaves and b) dry weight of fenugreek leaves with nonlinear regression modeling.

شیب ملایمتری داشت. همچنین کاربرد کود سیلیس بهویژه سطح ۳ گرم در لیتر در سطوح شوری بالای ۱۰۰ میلی‌مolar، مقاومت گیاه در برابر شوری را بیشتر نمود. در خصوص وزن خشک ریشه نیز روند تعییرات مانند وزن تر ریشه بود.

شکل ۵ نیز تأثیر کاربرد یا عدم کاربرد کود سیلیس در تنفس شوری بر وزن تر و خشک ریشه را نشان می‌دهد. مشاهده می‌شود که در سطوح شوری تا ۱۰۰ میلی‌مolar وزن تر ریشه مطابق شکل ۵-الف با کاربرد کود سیلیس کاهش یافته که کاهش در کاربرد ۳ گرم در لیتر سیلیس در مقایسه با سطوح دیگر سیلیس



شکل ۵- بررسی اثر شوری و کوددهی سیلیس بر میزان تغییر (الف) وزن تر ریشه و (ب) وزن خشک ریشه شبیله با مدل‌سازی رگرسیون غیرخطی.

Figure 5- Investigating the effect of salinity and silica fertilization on the mount rate of change of a) wet root weight and b) dry weight of fenugreek root with nonlinear regression modeling.

بحث

میلی مولار بر روی گیاه اعمال شود، می‌تواند اثرات مضر تنفس شوری در گیاه شنبلیله را کاهش دهد. پیش‌بینی گردید که در صورت کاربرد کود سیلیس ۱ و ۲ گرم در لیتر در شرایط تنفس شوری، میزان فلوروسانس کلروفیل (Fv/Fm) مانند کاربرد کود سیلیس ۳ گرم در لیتر سبب مقاومت گیاه شنبلیله به تنفس شوری اما با مقاومت کمتر می‌گردد. مقدار Fv معمولاً به وسیله تنفس‌های محیطی مانند تنفس شوری که باعث صدمه به تیلاکوئیدها می‌گردد، کاهش می‌یابد (Anonymous, 2005) که در مطالعه حاضر هم همین نتیجه بدست آمد. مطالعات آروبی و همکاران (۱۳۹۳) بر روی گیاه شنبلیله در چهار سطح شوری آب آبیاری (۶۰، ۱۲۰ و ۱۸۰ میلی‌مولار و شاهد) و دو سطح سیلیس (شاهد یا عدم مصرف و کاربرد سیلیکات سدیم با غلظت ۱/۵ میلی‌مولار) نشان داد که تنفس شوری باعث کاهش میزان فلوروسانس کلروفیل (Fv/Fm) و کاربرد کود سیلیس در شرایط تنفس شوری سبب بهبود آن می‌گردد که با نتایج این مطالعه مطابقت داشت.

بر اساس مدل‌سازی رگرسیون غیر خطی پیش‌بینی گردید که تا شوری ۱۰۰ میلی‌مولار، کوددهی ۲ گرم در لیتر سیلیس نسبت به ۱ گرم در لیتر و ۱ گرم در لیتر نسبت به عدم کوددهی، مقاومت گیاه شنبلیله در برابر کاهش میزان شاخص سبزینگی (SPAD) را افزایش می‌دهد و از شوری ۱۰۰ تا ۳۰۰ میلی‌مولار، اگرچه میزان شاخص سبزینگی (SPAD) در مقایسه با تنفس شوری متوسط و عدم تنفس شوری کاهش می‌یابد اما به یک روند ثابت با برتری کاربرد کود سیلیس در مقایسه با عدم کاربرد آن می‌رسد که نشان‌دهنده اثرات مثبت کاربرد کود سیلیس در جلوگیری از خسارت تنفس شوری می‌باشد. مطالعه فانی (۱۴۰۱) بر روی گیاه ریحان در تنفس شوری در دو سطح (۰ و ۱۵۰ میلی‌مولار) و محلول‌پاشی سیلیکون در دو سطح (۰ و ۲ گرم در لیتر) نشان داد که تنفس شوری در مقایسه با شرایط بدون تنفس شوری میزان شاخص سبزینگی (SPAD) را به طور معنی‌داری کاهش می‌دهد و محلول‌پاشی سیلیس تأثیر مثبت بر میزان شاخص سبزینگی (SPAD) در شرایط تنفس شوری دارد که با نتایج این مطالعه همخوانی داشت. کائو و همکاران (۲۰۰۶) طی مطالعه‌ای بر روی نوعی چمن

در این مطالعه تنفس شوری به ویژه در سطوح شوری ۱۰۰ به بالا از طریق کاهش صفات مورفوژیکی و فیزیولوژیکی مانند وزن تر و خشک ساقه، وزن تر و خشک ریشه، وزن تر و خشک برگ، میزان فلوروسانس کلروفیل (Fv/Fm) و میزان شاخص سبزینگی (SPAD)، سبب کاهش میزان رشد گیاه شنبلیله گردید. مطالعات سطوح مختلف شوری بر روی صفات رشد شنبلیله نشان داد که تمام دانه‌رست‌ها تا شوری ۷/۵ دسی‌زیمنس بر متر زنده بودند، اما در شوری‌های بالاتر تعداد کمتری از دانه‌رست‌ها زنده ماندند که با نتایج مطالعه حاضر مطابقت داشت (Zahir and Hussein, 2010). در مطالعه حاضر سطوح تنفس شوری بالا (۱۰۰ به بالا) اثرات منفی شدیدی بر روی میزان فلوروسانس کلروفیل (Fv/Fm) داشت که کاربرد سیلیس تا حدودی باعث کاهش این اثرات شد که با نتایج پژوهشگران دیگر که نشان دادند غلظت بالای سدیم کلرید، باعث کاهش نسبت پتانسیم به سدیم و افزایش پراکسیداسیون لیپیدی غشاها پلاسمایی گردیده، به علاوه نشت غشاها باعث کمبود پتانسیم و بسته شدن روزنه و در نتیجه کاهش فتوسنتز شده و در گیاهانی که مدت طولانی در معرض شوری قرار گرفتند، تحمل شوری معمولاً همراه با کاهش زیست‌توده بود، مطالعه داشت (Lee et al., 2013). مطالعه Chowdhury و همکاران (۲۰۱۴) بر روی گیاه شنبلیله نشان داد که شوری رشد و عملکرد گیاه را تحت تأثیر قرار داد، به طوری که در مرحله جوانانزی، هنگامی که شوری خاک از ۴ دسی‌زیمنس بر متر بالاتر رفت میزان تلفات دانه‌رست‌های شنبلیله به میزان زیادی تحت تأثیر قرار گرفت، اما در مراحل بعدی رشد، شنبلیله توانست شوری‌های بالاتر را تحمل کند. از جمله عناصر سازگار با محیط زیست، سیلیس است که در کاهش اثرات مضر تنفس شوری در گیاهان نقش مهمی دارد (Hurtado et al., 2020). مطالعه حاضر، براساس تیمارهای تنفس شوری و سیلیس که قبل از مطالعه قرار گرفته (سطوح شوری ۰، ۷۵ و ۱۵۰ میلی‌مولار و سطوح کوددهی سیلیس ۰ و ۳ گرم در لیتر)، مطابق با روش رگرسیون پیش‌بینی گردید که اگر تیمارهای سیلیس ۱ و ۲ گرم در لیتر در تنفس‌های شوری تا ۳۰۰

نشان داده شده که کاربرد سیلیکون در دو گیاه گندم و یونجه سبب افزایش میزان پتاسیم در گیاهان تحت تنش شوری شده که نتیجه آن بهبود رشد این گیاهان بود که با Tuna et al., 2008: نتایج این مطالعه مطابقت داشت (Wang and Han, 2007).

وزن تر و خشک اندام هوایی بر اساس مدل‌سازی رگرسیون غیرخطی و پیش‌بینی مطابق با سطوح تنش شوری تا ۳۰۰ میلی‌مولار و سطوح کوددهی ۱ و ۲ گرم در لیتر (سطوح شوری ۰، ۷۵ و ۱۵۰ میلی‌مولار و سطوح کوددهی ۰ و ۳ گرم در لیتر در مقاله‌ای قبلًا مورد بررسی قرار گرفته است و پیش‌بینی سطوح جدید بر اساس سطوح تعريف شده در مقاله قبلی انجام شده است) نشان داد که شوری تأثیر منفی بر وزن تر و خشک اندام هوایی دارد و کاربرد کود سیلیس در مقایسه با عدم کاربرد کود سیلیس، باعث می‌شود که آستانه مقاومت گیاه شنبیله به شوری تا ۱۶۰ میلی‌مولار افزایش یابد (مقاومت ۳ گرم در لیتر از ۲ و ۱ گرم در لیتر بیشتر است). کاربرد شوری تا دامنه مشخصی به دلیل مکانیسم‌های تحمل به تنش مانند کاهش سطح برگ و افزایش ضخامت برگ از اثرات منفی شوری بر فتوسنترز می‌کاهد. اگر این دامنه تحمل به شوری با کاربرد کود سیلیس همراه باشد به علت اینکه سیلیس باعث استحکام بیشتر برگها شده و پیری برگ را به تأخیر انداخته و میزان کلروفیل و فتوسنترز را افزایش می‌دهد، باعث کاهش بیشتر اثرات منفی شوری بر گیاه می‌شود (Liang et al., 2007).

در پیش‌بینی کوددهی ۲ و ۱ گرم در لیتر سیلیس بر مقاومت وزن تر و خشک ریشه گیاه شنبیله در سطوح شوری مختلف، مشاهده شد که تحمل گیاه به شوری در کاربرد کود سیلیس ۲ گرم در لیتر در مقایسه با ۱ گرم در لیتر و ۱ گرم در لیتر در مقایسه با عدم کوددهی بیشتر بود. شوری باعث می‌شود که جذب آب و به دنبال آن فشار تورژسانس سلول‌ها کاهش یابد. خروج آب از سلول‌ها نیز در این شرایط مانع از رشد آنها می‌شود که در نهایت باعث کاهش رشد ریشه می‌گردد، اما کوددهی سیلیس این اثرات منفی را کاهش می‌دهد. مطابق با نتایج این مطالعه، سیلیکون می‌تواند با تغییر توزیع یون سدیم و تعدادی از

(*Paspalum vaginatum*) نشان دادند که تنش شوری در بیشتر موارد باعث کاهش میزان شاخص سبزینگی (SPAD) می‌شود. می‌توان چنین بیان کرد که تنش شوری تأثیر منفی بر جذب مواد غذایی از ریشه گیاه دارد که کاربرد سیلیس تا حدودی این اثرات منفی را کاهش می‌دهد. تأثیر شوری و سیلیس بر روی گیاه کاملینا طی پژوهش فانی و حاجی هاشمی (۱۴۰۲) نشان داد که شوری میزان کلروفیل a, b، کل و قند محلول را کاهش و محلول‌پاشی سیلیس باعث کاهش اثرات مضر شوری بر روی صفات مذکور گردید. که خود نشان‌دهنده نقش سیلیس به عنوان یک ترکیب سازگار با محیط زیست به منظور افزایش مقاومت گیاه کاملینا به تنش شوری بود و با روند مطالعات در این تحقیق همخوانی داشت.

در رابطه با صفت طول ساقه، مدل‌سازی رگرسیون غیرخطی پیش‌بینی نمود که در تنش‌شوری ۱۸۰ تا ۱۲۰ میلی‌مولار، اثرات مثبت کاربرد کود سیلیس ۲ و ۱ گرم در لیتر مانند کاربرد کود سیلیس ۳ گرم در لیتر در مقایسه با عدم کاربرد آن کاملاً مشهود است و در تنش‌های شوری ۱۸۰ تا ۳۰۰ میلی‌مولار به روند ثابتی می‌رسد. تنش اسمزی ناشی از تنش شوری و سمتی یونها باعث کاهش طول ساقه گیاه می‌شود. سیلیس تأثیر مثبت بر جذب یون پتاسیم در شرایط تنش شوری داشته از طرفی مانع جذب سدیم در این شرایط می‌شود، نتیجه اینکه کاربرد سیلیس در شرایط شوری، سمتی شوری در گیاه را کاهش می‌دهد و باعث بهبود رشد گیاه در شرایط شوری می‌شود (Liang et al., 2007).

مدل‌سازی رگرسیون غیرخطی پیش‌بینی نمود که طول ریشه نسبت به کوددهی سیلیس در مقایسه با عدم کوددهی در تنش‌های شوری کم نیز واکنش مثبت نشان می‌دهد، اما در تنش‌های شوری ۱۰۰ میلی‌مولار به بالا، اثرات کوددهی سیلیس کاملاً مشهود است و تأثیر کوددهی ۲ گرم در لیتر در مقایسه با ۱ گرم در لیتر بیشتر و ۳ گرم در لیتر از ۲ و ۱ گرم در لیتر بیشتر است. کاهش رشد گیاه و به تبع آن کاهش رشد و طول ریشه در شوری به دلیل کاهش جذب آب ناشی از کاهش پتانسیل اسمزی خاک و سمتی ناشی از یونهای سدیم و کلر است (Szalay, 2005). در مطالعاتی

انجام آزمایش عملی و صرف هزینه (بر اساس نتایج پژوهش قبلی) اثرات کاربرد سطوح جدید کود سیلیس در سطوح جدید تنش شوری را بر روی صفات مورفوفیزیولوژیکی گیاه مورد نظر مورد بررسی و تجزیه و تحلیل قرار داد.

یونهای غذایی در ریشه، ساقه و برگهای گیاهان، باعث بهبود مقاومت گیاهان به تنش شوری شود (Wang and Han, 2007).

نتیجه‌گیری

با توجه به نتایج حاصل از پژوهش حاضر، صفات مورفوفیزیولوژیکی گیاه شبیله متأثر از کاربرد کود سیلیس در شرایط تنش شوری، مقاومت خوبی از خود نشان داد که در رابطه با کشت این گیاه در زمین‌های شور حائز اهمیت است. با استفاده از یادگیری ماشین و مدل‌هایی مثل رگرسیون غیرخطی، می‌توان صفات مورفولوژیکی و فیزیولوژیکی گیاه دارویی شبیله را در سطوح تنش شوری و کوددهی سیلیس تعریف شده دیگر و بدون

تقدیر و تشکر

از حمایت مالی و معنوی دانشگاه صنعتی خاتم الانبیاء بهبهان در انجام این پژوهش قدردانی می‌گردد.

REFERENCES

- Al-aghabary, K., Zhu, Z. & Shi, Q.** 2005. Influence of silicon supply on chlorophyll content, chlorophyl fluorescence, and antioxidative enzyme activities in tomato plants under salt stress. *Journal of Plant Nutrition*, 27: 2101-2115. DOI: 10.1081/PLN-200034641
- Agrawal, S.C.** 2021. Deep learning based non-linear regression for Stock Prediction, IOP Conference Series: Materials Science and Engineering, 1116: 012189. DOI: 10.1088/1757-899X/1116/1/012189
- Amuthaselvi, G. & Ambrose, D.C.P.** 2016. Fenugreek. CABI Press. India.
- Arouiee, H., Nasseri, M., Neamati, H., & Kafi, M.** 2014. Effects of Silicon on Salinity tolerance in fenugreek (*Trigonella foenum-graecum* L.). *Applied Field Crops Research*, 27(104), 165-172. DOI: 10.22092/aj.2014.101835 (In Persian)
- Banakar, M.H., Ranjbar, G.H., & Soltani, V.** 2012. Physiological response of some forage halophytes under saline conditions. *Environmental Stresses in Crop Sciences*, 5(1), 55-65. DOI: 10.22077/escs.2012.114 (In Persian)
- Chowdhury, M.M.U., Bhowal, S.K., Farhad, I.S.M., Choudhury, A.K. & Khan, A.S.** 2014 Productivity of fenugreek varieties *Trigonella foenum-graecum* L. in the coastal saline areas of noakhali. *The Agriculturists*, 12: 18-23. DOI: 10.3329/agric.v12i2.21726
- Chen, W., Yao, X., Cai, K. & Chen, J.** 2011. Silicon alleviates drought stress of rice plants by improving plant water status, photosynthesis and mineral nutrient absorption. *Biological Trace Element Research*, 142, 67-76. DOI: 10.1007/s12011-010-8742-x
- Deshmukh, R.K., Vivancos, J., Guerin, V., Sonah, H., Labbe, C., Belzile, F. & Belanger, R. R.** 2013. Identification and functional characterization of silicon transporters in soybean using comparative genomics of major intrinsic proteins in *Arabidopsis* and rice. *Plant Molecular Biology*, 83, 303-315. DOI: 10.1007/s11103-013-0087-3
- Debona, D., Rodrigues, F.A. & Datnoff, L.E.** 2017. Silicon's role in abiotic and biotic plant stresses. *Annual Review of Phytopathology*, 55, 85-107. DOI: 10.1146/annurev-phyto-080516-035312
- Fani E.** 2022. Physiological and biochemical responses of basil (*Ocimum basilicum*) to silicon spraying under salinity stress. *Journal of Crop Production*, 15(3), 123-136. DOI: 10.22069/ejcp.2022.19571.2459 (In Persian)
- Fani E.** 2023. The effects of feeding by silica fertilizer on the reduction of stress caused by salinity in fenugreek plants, *Journal of Soil Management and Sustainable Production*, in press. (In Persian)
- Fani, E. & Hajihashemi, S.** 2023. Investigation of the effect of silica spraying and salinity stress on some physiological traits of *Camelina sativa* oil plant. *Journal of Plant Environmental Physiology*, 69 (1): 149- 159. DOI: 10.30495/iper.2022.1954207.1780. (In Persian)
- Gupta, D.K., Prasad, R., Kumar, P., Mishra, V.N., Dikshit, P.K.S., Dwivedi, S.B. & Srivastava, P.K.** 2015. Crop variables estimation by adaptive neuro-fuzzy inference system using bistatic scatterometer data. In *Microwave and Photonics ICMAP*. International Conference on

- Microwave and Photonics ICMAP, pp. 1-2, DOI: 10.1109/ICMAP.2015.7408756.
- Hajihashemi S., Jahantigh O. & Fani E.** 2023. The effect of silicon treatment on improving the physiological response of radish (*Raphanus sativus L.*) to salinity stress. *Plant Process and Function* 11 (47): 2 DOR: 20.1001.1.23222727.1401.11.47.3.2 (In Persian)
- Hasanuzzaman, M., Nahar, K. & Fujita, M.** 2013. Plant response to salt stress and role of exogenous protectants to mitigate salt-induced damages. In: *Ecophysiology and Responses of Plants under Salt Stress*. eds. Ahmad, P., Azooz, M. M. and Prasad, M. N. V. Springer. New York.
- Haghghi, M. & Masoumi, Z.** 2021. Effect of caffeic acid on growth and reducing the destructive effects of salinity on greenhouse cucumber *Cucumis sativus* var. Super daminos. *Journal of Vegetables Sciences*, 48, 35-51. DOI: 10.22034/iuvs.2021.131965.1114
- Hosseini, M., Agereh, S.R., Khaleidian, Y., Zoghalchali, H.J., Brevik, E.C. & Naeini, S.A.** 2017. Comparison of multiple statistical techniques to predict soil phosphorus. *Applied Soil Ecology*, 114, 123-131. DOI: 10.1016/j.apsoil.2017.02.011
- Hurtado, A.C., Chiconato, D.A., Prado, R. de M., Sousa Junior, G. da S., Gratao, P.L., Felisberto, G. & Mathias dos Santos, D.M.** 2020. Different methods of silicon application attenuate salt stress in sorghum and sunflower by modifying the antioxidative defense mechanism. *Ecotoxicology and Environmental Safety*, 203, 110964-110975. DOI: 10.1016/j.ecoenv.2020.110964
- Kao, W.Y., Tsai, T.T., Tsai, H.C. & Shi, C.N.** 2006. Response of three *Glycine* species to salt stress. *Environmental and Experimental Botany*, 56, 120-125. DOI: 10.1016/j.envexpbot.2005.01.009
- Lee, M. H., Cho, E.J., Wi, S.G., Bae, H., Kim, J.E., Cho, J.Y., Lee, S., Kim, J.H. & Chung, B.Y.** 2013. Divergences in morphological changes and antioxidant responses in salt-tolerant and salt-sensitive rice seedlings after salt stress. *Plant Physiology and Biochemistry*, 70, 325-335. DOI: 10.1016/j.plaphy.2013.05.047
- Liang, Y., Sun, W., Zhu, Y.G., & Christie, P.** 2007. Mechanisms of silicon mediated alleviation of a biotic stresses in higher plants: a review. *Environmental Pollution*, 147, 422-428. DOI: 10.1016/j.envpol.2006.06.008
- Liu, B., Soundararajan, P. & Manivannan, A.** 2019. Mechanisms of silicon-mediated amelioration of salt stress in plants. *Plants*, 8, 307. DOI: 10.3390/plants8090307
- Luyckx, M., Hausman, J.F., Lutts, S. & Guerriero, G.** 2017a. Impact of silicon in plant biomass production: Focus on bast fibres, hypotheses, and perspectives. *Plants Basel*, 6, 37. DOI: 10.3390%2Fplants6030037
- Luyckx, M., Hausman, J.F., Lutts, S. & Guerriero, G.** 2017b. Silicon and Plants: Current Knowledge and Technological Perspectives. *Frontiers in Plant Science*, 8, 411. DOI: 10.3389/fpls.2017.00411
- Ma, J.F. & Takahashi, E.** 2002. Soil, Fertilizer, and Plant Silicon Research in. Elsevier Science, Amsterdam.
- Payamani, R., Nosratti, I. & Amerian, M.** 2021. Effect of different levels of salinity, nitrogen and *Torilis arvensis* competition on growth characteristics and leaf yield of Coriander *Coriandrum sativum*. *Journal of Vegetables Sciences*, 51, 51- 62. DOI: 10.22034/iuvs.2021.526940.1153
- Rico-Chávez, A.K., Franco, J.A., Fernandez-Jaramillo, A.A., Contreras-Medina, L.M., Ramón Gerardo Guevara-González, R.G. & Hernandez-Escobedo, Q.** 2022. Machine Learning for Plant Stress Modeling: A Perspective towards Hormesis Management. *Plants*, 117, 970. DOI: 10.3390%2Fplants11070970
- Szalay, L., Hegedus, A. & Stefanovits-Banyai, E.** 2005. Presumable protective role of peroxidase and polyphenol oxidase enzymes against freezing stress in peach *Prunus persica* L. Batsch. *Acta Biologica Szegediensis*, 491- 2, 121-122.
- Tuna, A.L., Kaya, C., Higgs, D.E.B., Murillo-Amador, B., Aydemir, S. & Girgin, A.R.** 2008. Silicon improves salinity tolerance in wheat plants. *Environmental and Experimental Botany*, 621, 10-16. DOI: 10.1016/j.envexpbot.2007.06.006
- Wang, X.S. & Han, J.G.** 2007. Effects of NaCl and silicon on ion distribution in the roots, shoots and leaves of two alfalfa cultivars with different salt tolerance. *Soil Science and Plant Nutrition*, 53, 278-285. DOI: 10.1111/j.1747-0765.2007.00135.x
- Zahir, M. & Hussain, F.** 2010. Vegetative growth performance of five medicinal plants under NaCl salt stress. *Pakistan Journal of Botany*, 42, 303-316.
- Zargari A.** 1371. Medicinal Plants. Volume 1, Tehran University Press, Tehran (In Persian)
- Zuccarini, P.** 2008. Effects of silicon on photosynthesis, water relations and nutrient uptake of *Phaseolus vulgaris* under NaCl stress. *Biologia Plantarum*, 52, 157-160. DOI: 10.1007/s10535-008-0034-3

How to cite this article:

- Fani, E., & Mokari, M. 2024. Using machine learning to model different levels of salinity stress and silica fertilization of fenugreek (*Trigonella foenum-graecum* L.). *Nova Biologica Reperta* 11(2): 57-70. (In Persian).
- فانی، ا. و مکاری، م. ۱۴۰۳. استفاده از یادگیری ماشین برای مدل‌سازی سطوح مختلف تنفس شوری و کوددهی سیلیس گیاه شبیله (*Trigonella foenum-graecum* L.). *یافته‌های نوین در علوم زیستی* ۱۱(۲): ۵۷-۷۰.